

НАСТРОЙКА СИСТЕМИ ІЗ ЦИФРОВИМ РЕГУЛЯТОРОМ НА ЗАДАНИЙ ПОКАЗНИК КОЛИВНОСТІ

Вступ

При дослідженні аналогових систем керування (зокрема, систем із запізненням та розподіленими параметрами) широко використовуються частотні методи: критерій Найквіста для оцінки стійкості системи, налагодження системи на заданий показник коливності; тощо.

Ці методи мають наочну графічну інтерпретацію. Годограф амплітудно–фазової характеристики (АФХ) розімкненої системи охоплює або не охоплює точку $-1 + 0j$, заходить чи не заходить в середину M –кола [1].... Такий підхід робить розрахунок системи наочним та інтерактивним.

Постановка завдання

Якщо у системі керування використано цифровий ПД–регулятор, а час квантування малий порівняно із інерційністю об'єкта керування (ОК), то у першому наближенні для розрахунку можна використовувати аналогові методи настройки системи керування. А що робити коли час квантування більший за половину періоду, що відповідає частоті зрізу (теорема Котельникова [1])...? У цьому випадку використання аналогових методів неприйнятне.

Розглянемо детальніше цифровий регулятор (ЦР). ЦР містить: амплітудноімпульсний модулятор, що перетворює неперервний сигнал на послідовність імпульсів із часом квантування T ; функцію перетворення, яка реалізує закон керування (як правило, ПД–закон) та демодулятор (частіше усього – фіксатор нульового порядку), що забезпечує постійне значення вихідного сигналу на час T . Якщо розглянути послідовну сукупність цих ланок (де вхідний та вихідний сигнали є неперервні), то є всі підстави, принаймні, формально моделювати ЦР (разом із модулятором та демодулятором) як неперервний (анalogовий).

Аналогова модель цифрового ПД–регулятора

Передаточна функція цифрового ПД–регулятора має вид [2]:

$$W_p(z) = K_1 + K_2 \frac{Tz}{z-1} + K_3 \frac{z-1}{Tz}, \quad (1)$$

де K_1, K_2, K_3 – пропорційна, інтегральна та диференціальна частини налагодження ПД–регулятора.

Виходячи із (1) можна отримати рекурентне відношення, що реалізує алгоритм роботи цифрового ПД–регулятора:

$$u[kT] = \left[K_1 + K_2 T + \frac{K_3}{T} \right] x[kT] - \frac{K_3}{T} x[(k-1)T] + K_2 u[(k-1)T], \quad (2)$$

тут kT – дискретний час на k -му кроці із періодом квантування T ; $x(kT)$, $u(kT)$ – сигнал неузгодженості та сигнал керування регулятора на k -му кроці. Змінюючи параметри K_1, K_2, K_3 можна отримати П, I, PI, PDI, ПД–закони регулювання.

Конформне відображення s –площини Лапласа на дискретну z –площину визначається залежністю:

$$z = e^{sT}. \quad (3)$$

Враховуючи (3), із (1) отримаємо аналогову модель функції перетворення цифрового ПД–регулятора:

$$W_p(s) = K_1 + K_2 T \frac{1}{1-e^{-sT}} + \frac{K_3}{T} (1 - e^{-sT});$$

$$\text{або у класичному вигляді: } W_p(s) = K_1 \left[1 + \frac{T}{T_I} \left(\frac{1}{1-e^{-sT}} \right) + \frac{T_D}{T} (1 - e^{-sT}) \right], \quad (4)$$

де T_I, T_D – час інтегрування та диференціювання ПД–регулятора ($T_I = K_1/K_2, T_D = K_3/K_1$).

Крім функції перетворення ЦР включає амплітудноімпульсний модулятор та фіксатор нульового порядку. Вважатимемо, що модулятор реалізує амплітудноімпульсну модуляцію першого роду, тобто в момент часу $t_k = kT$ вихідний сигнал модулятора дорівнює $x_k = x(t_k)$. Кvantований сигнал x_k прийнято представляти імпульсом висотою x_k . Енергія імпульсу сигналу характеризується його площею (добутком ширини імпульсу на його висоту). Одиничний імпульс теоретично має нескінчену амплітуду (висоту), нульову ширину, але його площа дорівнює одиниці. Отже, імпульс x_k несе енергію рівну x_k , тоді як енергія сигналу $x(t)$ на протязі

інтервалу квантування має величину $\int_{t_k}^{t_k+T} x(t)dt = Tx_k$, якщо ігнорувати зміну сигналу в межах періоду T . Таким чином, виходить, що коефіцієнт передачі модулятора:

$$W_M(s) = \frac{1}{T}. \quad (5)$$

Фіксатор нульового порядку має передаточну функцію:

$$W_\phi(s) = \frac{1 - e^{sT}}{s}. \quad (6)$$

Враховуючи, (4) – (6), отримаємо аналогову модель цифрового ПІД–регулятора:

$$W_{up}(s) = W_M(s)W_p(s)W_\phi(s). \quad (7)$$

Розглянемо частотні характеристики аналогової моделі цифрового ПІД–регулятора (шляхом заміни s на $j\omega$) для (4) маємо:

$$W_p(j\omega) = \text{Re}_1 + j\text{Im}_1, \quad (8)$$

$$\text{де } \text{Re}_1 = K_1 \left\{ 1 + \frac{T}{2T_I} + \frac{T_D}{2T} [1 - \cos(\omega T)] \right\}, \quad \text{Im}_1 = K_1 \left\{ -\frac{2T}{2T_I} \frac{\sin(\omega T)}{1 - \cos(\omega T)} + \frac{T_D}{T} \sin(\omega T) \right\}.$$

Якщо розглядати частотні характеристики фіксатора у сукупності із модулятором (ланцюжок: модулятор–фіксатор, коли передаточні функції ланок перемножуються), то система “модулятор–фіксатор” матиме передаточну функцію: $W_{M-\phi}(s) = \frac{1 - e^{sT}}{sT}$. Відповідна частотна характеристика:

$$W_{M-\phi}(j\omega) = \frac{1 - \cos(\omega T) + j \sin(\omega T)}{j\omega T} = \text{Re}_2 + j\text{Im}_2, \quad (9)$$

$$\text{де } \text{Re}_2 = \frac{\sin(\omega T)}{\omega T}, \quad \text{Im}_2 = \frac{\cos(\omega T) - 1}{\omega T}.$$

Для розрахунку системи керування зручно мати її АФХ у розімкненому стані:

$$W_{pos}(j\omega) = W_p(j\omega)W_{M-\phi}(j\omega)W_{o\bar{o}}(j\omega), \quad (10)$$

тут $W_{o\bar{o}}(j\omega) = \frac{B(j\omega)}{A(j\omega)}e^{-j\omega\tau}$. Розглянемо дробово–раціональну частину $W_{o\bar{o}}(j\omega)$:

$$\frac{B(j\omega)}{A(j\omega)} = \frac{R_1 + jI_1}{R_2 + jI_2} = \frac{(R_1 + jI_1)(R_2 + jI_2)}{R_2^2 + I_2^2} = R_3 + jI_3, \quad (11)$$

де $R_3 = \frac{R_1R_2 + I_1I_2}{R_2^2 + I_2^2}$, $I_3 = \frac{I_1R_2 - R_1I_2}{R_2^2 + I_2^2}$. Помножуємо отриманий результат на:

$$e^{-j\omega\tau} = \cos(\omega\tau) - j \sin(\omega\tau) = R_4 - jI_4. \quad (12)$$

Враховуючи (11), (12) $W_{o\bar{o}}(j\omega)$ визначається як:

$$W_{o\bar{o}}(j\omega) = (R_3 + jI_3)(R_4 - jI_4) = \text{Re}_3 + j\text{Im}_3, \quad (14)$$

тут $\text{Re}_3 = R_3R_4 + I_3I_4$, $\text{Im}_3 = I_3R_4 - R_3I_4$.

Розглянутий алгоритм визначення АФХ (10) реалізовано чисельно в середовищі Turbo Pascal. Програма дозволяє розраховувати настройки цифрового регулятора на заданий показник коливності M [1].

Розглянемо деякі результати моделювання рис.1 – рис.3.

Перше. За критерій налагодження цифрової системи прийнято показник коливності $M=1.3$. В якості ОК використано аперіодичну ланку другого порядку із запізнюванням: $W_{o\bar{o}}(s) = \frac{5}{10s^2 + 5s + 1}e^{-5s}$. Результати

моделювання представлено на рис. 1. Як показано на рис. 1 (графік 1) при настройках ЦР: $K_1=0.14$, $T_I=5$, $T_D=3$, $T=1$ показник коливності $M=1.3$. Якщо збільшити час квантування регулятора до $T=2$ без зміни інших параметрів моделювання – показник коливності зросте $M=2.2$, див. рис. 1 (графік 2). Таким чином, збільшення часу квантування T еквівалентно збільшенню запізнювання, і як наслідок зростає показник коливності системи.

Друге. За критерій налагодження цифрової системи взято показник коливності $M=1.2$. Передаточна функція ОК – та сама: $W_{o\bar{o}}(s) = \frac{5}{10s^2 + 5s + 1}e^{-5s}$. Результати моделювання представлено на рис. 2. Перехідні

процеси рис. 2 (графіки 1, 2) забезпечують показник коливності $M=1.2$. Графік 1 забезпечується настройками ЦР: $K_1=0.133$, $T_I=5$, $T_D=3$, $T=1$, а графік 2 – $K_1=0.113$, $T_I=6$, $T_D=3$, $T=2$. Отже, можна зробити висновок, що час квантування T єдиний повноцінний параметр настройки ЦР, що впливає на якість перехідних процесів у системі.

Третє. За критерій налагодження цифрової системи прийнято показник коливності $M=1.2$. В якості ОК використано аперіодичну ланку першого порядку із запізненням: $W_{\text{об}}(s) = \frac{3}{10s+1} e^{-2\tau}$. Перехідний процес рис. 3 при настройках ЦР: $K_1=0.8$, $T_I=10$, $T_D=1$, $T=2$ забезпечує показник коливності $M=1.2$. Перехідний процес носить пилкоподібний характер. Це пояснюється тим, що ОК описується аперіодичною ланкою першого порядку і має інерційність одного порядку із часом квантування ЦР.

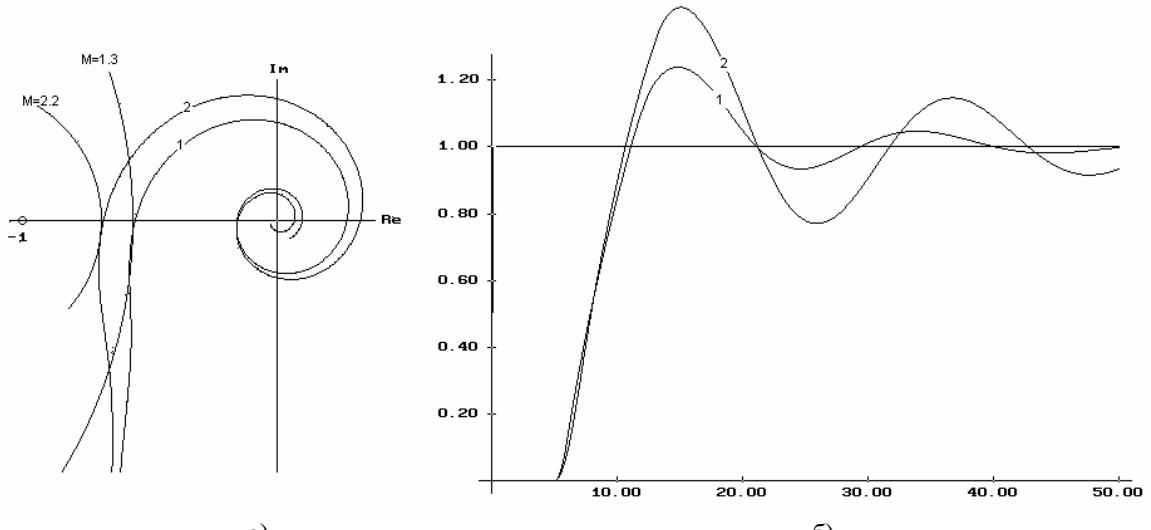


Рис. 1. Розрахунок параметрів ЦР на заданий показник коливності M , а – АФХ розімкненої системи, б – перехідні процеси у цифровій системі регулювання.

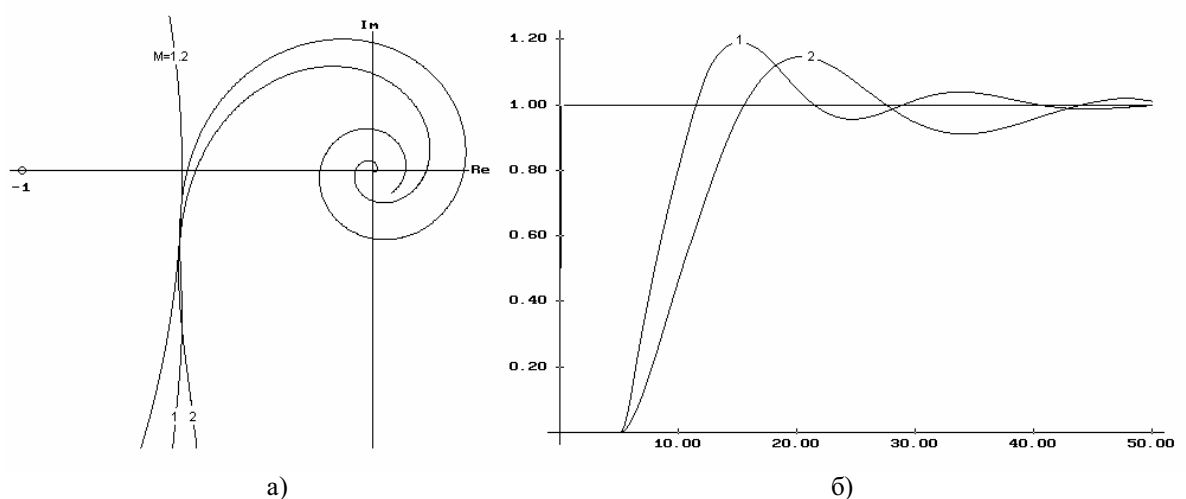


Рис. 2. Розрахунок параметрів ЦР на заданий показник коливності M , а – АФХ розімкненої системи, б – перехідні процеси у цифровій системі регулювання.

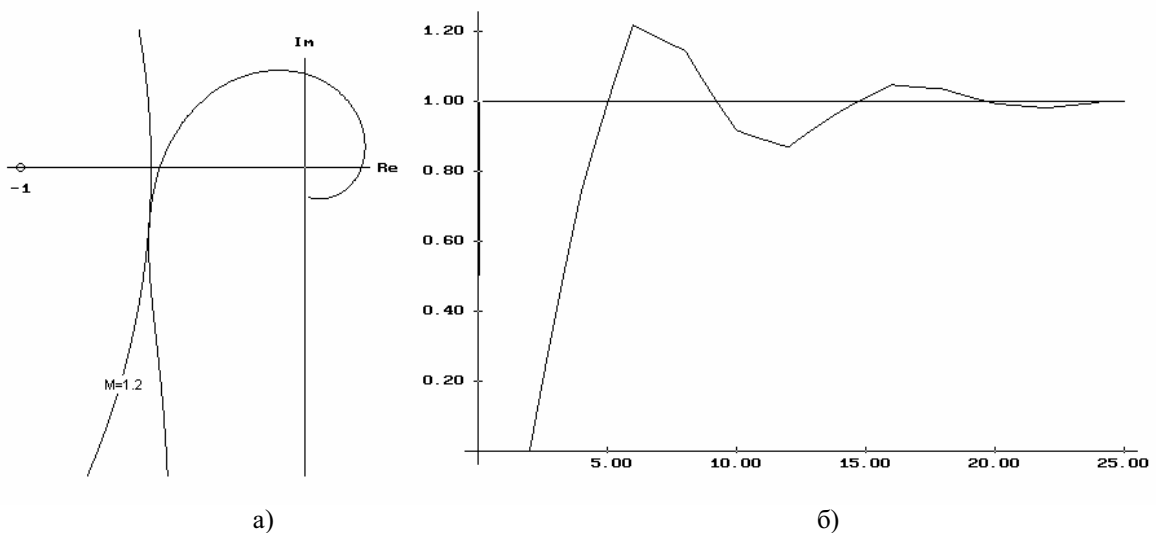


Рис. 3. Розрахунок параметрів ЦР на заданий показник коливності M , а – АФХ розімкненої системи, б – перехідний процес у цифровій системі регулювання.

Висновки

Аналогове моделювання ЦР (із модулятором перед ним та фіксатором після нього) відкриває можливість застосування частотних методів дослідження систем керування з аналоговим об'єктом та ЦР. При цьому час квантування у ЦР може розглядатися як додатковий параметр налагодження системи.

Аналогове представлення ЦР дає також можливість розрахунку перехідних процесів засобами MatLAB (та подібних їй), а також в середовищі Turbo Pascal. Це дозволяє оцінити вплив вираного періоду квантування не лише на поведінку набору дискрет у моменти квантування, але і в проміжках між ними. Особливий інтерес це може представляти при дослідженні реакції системи керування на збурюючі чинники, що можуть суттєво відрізнятися за формою від $1(t)$ – типового входного сигналу.

ЛІТЕРАТУРА

1. В. Я. Ротач Расчет динамики промышленных автоматических систем регулирования. –М.: Энергия, 1973. – 440 с: ил.
2. Р. Дорф, Р. Бишоп Современные системы управления. –М.: Лаборатория Базовых Знаний, 2002. –832 с: ил.